



UNIVERSIDADE DO MINHO  
MIEI

MODELOS DETERMINÍSTICOS DE INVESTIGAÇÃO  
OPERACIONAL

## **Incêndios Florestais**

**Grupo:**

Afonso Sousa - a74196

João Nunes - a82300

Jorge Cardoso - a75876

Luís Braga - a82088

Luís Martins - a82298

Braga, Portugal  
25 de Abril de 2019

# Conteúdo

<b>1</b>	<b>Questão 1</b>	<b>2</b>
1.1	Resposta A . . . . .	2
1.2	Resposta B . . . . .	3
1.3	Resposta C . . . . .	5
1.4	Resposta D . . . . .	8
<b>2</b>	<b>Questão 2</b>	<b>11</b>
2.1	Resposta A . . . . .	11
2.2	Resposta B . . . . .	12
2.3	Resposta C . . . . .	13
<b>3</b>	<b>Questão 3</b>	<b>14</b>
3.1	Resposta A . . . . .	14
3.2	Resposta B . . . . .	15
3.3	Resposta C . . . . .	16

# Capítulo 1

## Questão 1

### 1.1 Resposta A

#### Parâmetros:

$n$  - Dimensão de uma matriz quadrada;

$vN$  - Matriz (de dimensão  $n \times n$ ) com o custo de ir para norte de um certo nodo;

$vS$  - Matriz (de dimensão  $n \times n$ ) com o custo de ir para sul de um certo nodo;

$vE$  - Matriz (de dimensão  $n \times n$ ) com o custo de ir para este de um certo nodo;

$vW$  - Matriz (de dimensão  $n \times n$ ) com o custo de ir para oeste de um certo nodo.

A título de exemplo, representando todas as matrizes acima referidas com  $n=7$  segundo as indicações dadas chega-se ao seguinte grafo:

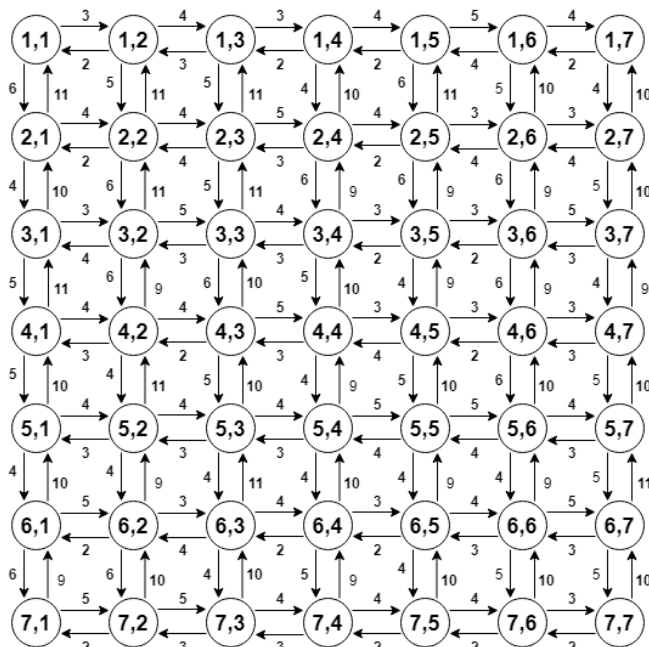


Figura 1.1: Grafo de uma matriz 7x7.

#### Variáveis de decisão:

M - Matriz (de dimensão  $n \times n$ ) com os tempos de ignição em cada nodo;

**Função objetivo:**

$$Max z = \sum_{i=1}^n \sum_{j=1}^n M_{ij}$$

Na função objetivo pretende-se maximizar o tempo de ignição em cada célula, pelo que é necessário efetuar o somatório dos tempos de ignição das células.

**Sujeito a:**

$$R1 : \forall_{2 \leq i \leq n} (\forall_{1 \leq j \leq n} (M_{i-1,j} - M_{i,j} \leq vN_{i,j}))$$

$$R2 : \forall_{1 \leq i \leq n-1} (\forall_{1 \leq j \leq n} (M_{i+1,j} - M_{i,j} \leq vS_{i,j}))$$

$$R3 : \forall_{1 \leq i \leq n} (\forall_{2 \leq j \leq n} (M_{i,j-1} - M_{i,j} \leq vW_{i,j}))$$

$$R4 : \forall_{1 \leq i \leq n} (\forall_{1 \leq j \leq n-1} (M_{i,j+1} - M_{i,j} \leq vE_{i,j}))$$

$$R5 : M_{11} = 0$$

Nas restrições do problema, é necessário restringir a propagação do fogo apenas aos nodos adjacentes ao nodo de ignição, neste caso o nodo (1,1) ou o nodo 1. O fogo apenas se pode propagar em 4 direções diferentes, para o norte, sul, este e oeste, sem propagações diagonais. Na determinação do tempo de ignição de uma célula, aceder-se-á aos valores do tempo de ignição da estrutura relativa aos custos em cada direção ( $vN$ ,  $vS$ ,  $vE$ ,  $vW$ ), sendo depois a estrutura  $M$  preenchida.

## 1.2 Resposta B

**Parâmetros:**

$n$  - Dimensão de uma matriz quadrada;

$vN$  - Matriz (de dimensão  $n \times n$ ) com o custo de ir para norte de um certo nodo;

$vS$  - Matriz (de dimensão  $n \times n$ ) com o custo de ir para sul de um certo nodo;

$vE$  - Matriz (de dimensão  $n \times n$ ) com o custo de ir para este de um certo nodo;

$vW$  - Matriz (de dimensão  $n \times n$ ) com o custo de ir para oeste de um certo nodo.

**Variáveis de decisão:**

xN - Matriz (de dimensão n\*n) com o número de caminhos de que faz parte o arco de ir para norte de um certo nodo;

xS - Matriz (de dimensão n\*n) com o número de caminhos de que faz parte o arco de ir para sul de um certo nodo;

xE - Matriz (de dimensão n\*n) com o número de caminhos de que faz parte o arco de ir para este de um certo nodo;

xW - Matriz (de dimensão n\*n) com o número de caminhos de que faz parte o arco de ir para oeste de um certo nodo;

### Função objetivo:

$$\text{Min } z = \sum_{i=1}^n \sum_{j=1}^n (vN_{ij} * xN_{ij} + vS_{ij} * xS_{ij} + vE_{ii} * xE_{ij} + vW_{ij} * xW_{ij})$$

Depois da passagem para o modelo dual do exercício 1.a obteve-se a função objectivo descrita acima. A função visa minimizar o somatório das somas dos produtos entre o tempo que o fogo demora a propagar-se para os quatro pontos cardeais e o número de caminhos de que faz parte o arco que se direcciona para o respectivo ponto cardinal, a partir de uma determinada célula.

### Sujeito a:

$$R1 : xS_{11} + xE_{11} = n * n - 1$$

$$R2 : xS_{1n} + xW_{1n} - xE_{1(n-1)} - xN_{2n} = -1$$

$$R3 : xN_{n1} + xE_{n1} - xS_{(n-1)1} - xW_{n2} = -1$$

$$R4 : xN_{nn} + xW_{nn} - xS_{(n-1)n} - xE_{n(n-1)} = -1$$

$$R5 : \forall_{2 \leq j \leq n-1} (xS_{1j} + xE_{1j} + xW_{1j} - xN_{2j} - xW_{1(j+1)} - xE_{1(j-1)}) = -1$$

$$R6 : \forall_{2 \leq j \leq n-1} (xN_{nj} + xE_{nj} + xW_{nj} - xS_{(n-1)j} - xW_{n(j+1)} - xE_{n(j-1)}) = -1$$

$$R7 : \forall_{2 \leq i \leq n-1} (xN_{i1} + xS_{i1} + xE_{i1} - xN_{(i+1)1} - xS_{(i-1)1} - xW_{i2}) = -1$$

$$R8 : \forall_{2 \leq i \leq n-1} (xN_{in} + xS_{in} + xW_{in} - xN_{(i+1)n} - xS_{(i-1)n} - xE_{i(n-1)}) = -1$$

$$R9 : \forall_{2 \leq i \leq n-1} (\forall_{2 \leq j \leq n-1} ((xN_{ij} + xE_{ij} + xW_{ij} + xS_{ij}) - (xN_{(i+1)j} + xS_{(i-1)j} + xW_{i(j+1)} + xE_{i(j-1)})) = -1)$$

Tendo em conta as limitações dadas pelo contexto do problema e a passagem do modelo primal para dual, formularam-se as restrições supracitadas. Todas estas restrições pretendem delimitar o número de destinos que podem ser alcançados a partir de cada arco, para o efeito dividiram-se as restrições por número de entradas/saídas. Temos, por isso, os cantos (2 acessos), as bordas, sem os cantos(3 acessos) e o interior do grafo(4 acessos).

Começou-se pelos cantos do grafo (figura 1.1). O nodo 1 é caso especial, pois o fogo tem lá início, consequentemente, a partir deste nodo o fogo alcançará todos os outros, portanto a soma de  $x_S$  e  $x_E$  será a igual a 48 (R1). Nos restantes nodos de semelhante tipo não se sabe o valor ótimo concreto, no entanto, podem-se formular as restrições uma vez que se perde um destino quando o fogo alcança um nodo (R2, R3 e R4), ficando a formula igualada a -1. Na verdade, este tipo de pensamento pode ser aplicado não só nos nodos das bordas do grafo (R5, R6, R7 e R8) como também nos nodos interiores (R9).

## 1.3 Resposta C

A partir da instância em anexo e recorrendo ao software *IBM ILOG CPLEX*, adaptando o modelo às especificações do programa, foi gerado o seguinte código:

```
int n=...;
int vN[1..n][1..n]=...;
int vS[1..n][1..n]=...;
int vW[1..n][1..n]=...;
int vE[1..n][1..n]=...;
//int C[1..n][1..n];

dvar float+ M[1..n][1..n];

maximize sum (i in 1..n, j in 1..n) M[i][j];

subject to {
  Restricao1: forall (i in 2..n, j in 1..n) M[i-1][j] - M[i][j] <= vN[i][j];
  Restricao2: forall (i in 1..n-1, j in 1..n) M[i+1][j] - M[i][j] <= vS[i][j];
  Restricao3: forall (i in 1..n, j in 2..n) M[i][j-1] - M[i][j] <= vW[i][j];
  Restricao4: forall (i in 1..n, j in 1..n-1) M[i][j+1] - M[i][j] <= vE[i][j];
  Restricao5: M[1][1] == 0;
}
```

Figura 1.2: Modelo Primal

### Soluções ótimas primal através da resolução do modelo primal:

Após se fazer o ficheiro .mod com o modelo primal mostrado na figura anterior, obteram-se as seguintes soluções ótimas primal:

```
// solution (optimal) with objective 1197
// Quality There are no bound infeasibilities.
// There are no reduced-cost infeasibilities.
// Maximum Ax-b residual           = 0
// Maximum c-B'pi residual         = 0
// Maximum |x|                     = 47
// Maximum |slack|                 = 17
// Maximum |pi|                    = 49
// Maximum |red-cost|              = 0
// Condition number of unscaled basis = 2,2e+01
//

M = [[0
      3 7 10 14 19 23]
     [6 8 12 14 18 21 24]
     [10 13 17 20 23 26 29]
     [15 19 23 25 27 30 33]
     [20 23 27 29 32 36 38]
     [24 29 31 33 36 40 43]
     [30 33 35 38 40 44 47]];
```

Figura 1.3: Soluções ótimas primal

### Passos sobre a resolução das soluções ótimas dual através do modelo primal

Feito o modelo primal, modificou-se o ficheiro .ops da sua configuração, alterando o seu run e fazendo export do LP na próxima execução. Em seguida, foi feito run da configuração com esse ficheiro .ops alterado e gerou-se um ficheiro .lp. Nesse ficheiro, tinha a função objetivo com o somatório e as restrições extendidas (para um  $n = 7$ ) do modelo primal.

Por consequência, ao fazer-se "NomedaRestrição".dual obtem-se um elemento de uma das quatro matrizes que se teria que obter como as soluções ótimas dual. Assim, obteve-se as soluções ótimas dual da seguinte maneira:

```
xn[2][1] = c1.dual;
xn[2][2] = c2.dual;
xn[2][3] = c3.dual;
xn[2][4] = c4.dual;
xn[2][5] = c5.dual;
xn[2][6] = c6.dual;
xn[2][7] = c7.dual;
```

Figura 1.4: Alguns exemplos do preenchimento da matriz xn

Interactive scripting

```

xn[2][1] = c1.dual;
xn[2][2] = c2.dual;
xn[2][3] = c3.dual;
xn[2][4] = c4.dual;
xn[2][5] = c5.dual;
xn[2][6] = c6.dual;
xn[2][7] = c7.dual;
xn[3][1] = c8.dual;
xn[3][2] = c9.dual;
xn[3][3] = c10.dual;
xn[3][4] = c11.dual;
xn[3][5] = c12.dual;
xn[3][6] = c13.dual;
xn[3][7] = c14.dual;
xn[4][1] = c15.dual;
xn[4][2] = c16.dual;
xn[4][3] = c17.dual;
xn[4][4] = c18.dual;
xn[4][5] = c19.dual;
xn[4][6] = c20.dual;
xn[4][7] = c21.dual;
xn[5][1] = c22.dual;
xn[5][2] = c23.dual;
xn[5][3] = c24.dual;
xn[5][4] = c25.dual;
xn[5][5] = c26.dual;
xn[5][6] = c27.dual;
xn[5][7] = c28.dual;

```

« Scripting log (drop script code here to execute it)

```

Matriz xn [[0 0 0 0 0 0 0]
[0 0 0 0 0 0 0]
[0 0 0 0 0 0 0]
[0 0 0 0 0 0 0]
[0 0 0 0 0 0 0]
[0 0 0 0 0 0 0]
[0 0 0 0 0 0 0]]
Matriz xs [[14 1 3 24 0 0 0]
[13 0 2 16 0 0 4]
[4 7 1 4 9 0 3]
[3 6 0 3 5 2 2]
[2 2 2 2 4 1 1]
[1 1 1 1 3 0 0]
[0 0 0 0 0 0 0]]
Matriz xw [[0 0 0 0 0 0 0]
[0 0 0 0 0 0 0]
[0 0 0 0 0 0 0]
[0 0 0 0 0 0 0]
[0 0 0 0 0 0 0]
[0 0 0 0 0 0 0]
[0 0 0 0 0 0 0]]
Matriz xe [[34 32 28 3 2 1 0]
[0 0 0 7 6 5 0]
[8 0 0 11 1 0 0]
[0 0 0 3 0 0 0]
[0 3 0 0 0 0 0]
[0 0 0 0 0 0 0]
[0 0 0 0 2 1 0]]

```

Figura 1.5: Soluções Ótimas Dual



## 1.4 Resposta D

Partindo da instância em anexo, e tal como na anterior, recorrendo ao software *IBM ILOG CPLEX*, uma vez adaptado às especificações do programa, obteu-se o seguinte código:

```
int n=...;
int vN[1..n][1..n]=...;
int vS[1..n][1..n]=...;
int vW[1..n][1..n]=...;
int vE[1..n][1..n]=...;
//int C[1..n][1..n];

dvar int+ xN[1..n][1..n];
dvar int+ xS[1..n][1..n];
dvar int+ xW[1..n][1..n];
dvar int+ xE[1..n][1..n];

minimize sum (i in 1..n, j in 1..n) (vN[i][j]*xN[i][j] + vS[i][j]*xS[i][j] +
                                     vW[i][j]*xW[i][j] + vE[i][j]*xE[i][j]);

subject to {
  Restricao1: xS[1][1] + xE[1][1] == n*n-1;

  Restricao2: forall(i in 2..n-1, j in 2..n-1) (xN[i][j]+xE[i][j]+xW[i][j]+xS[i][j])-(xN[i+1][j]+xS[i-1][j]+xW[i][j+1]+xE[i][j-1]) == -1;

  Restricao3: xS[1][n] + xW[1][n] - xE[1][n-1] - xN[2][n] == -1;
  Restricao4: xN[n][1] + xE[n][1] - xS[n-1][1] - xW[n][2] == -1;
  Restricao5: xN[n][n] + xW[n][n] - xS[n-1][n] - xE[n][n-1] == -1;

  Restricao6: forall(j in 2..n-1) xS[1][j]+xE[1][j]+xW[1][j]-xN[2][j]-xW[1][j+1]-xE[1][j-1] == -1;
  Restricao7: forall(j in 2..n-1) xN[n][j]+xE[n][j]+xW[n][j]-xS[n-1][j]-xW[n][j+1]-xE[n][j-1] == -1;
  Restricao8: forall(i in 2..n-1) xN[i][1]+xS[i][1]+xE[i][1]-xN[i+1][1]-xS[i-1][1]-xW[i][2] == -1;
  Restricao9: forall(i in 2..n-1) xN[i][n]+xS[i][n]+xW[i][n]-xN[i+1][n]-xS[i-1][n]-xE[i][n-1] == -1;
}
```

Figura 1.6: Modelo Dual

### Soluções ótimas primal através da resolução do modelo primal:

Utilizando o modelo dual, da figura anterior, as seguinte soluções ótimas do dual foram obtidas:

```

// solution (optimal) with objective 1197
// Quality Incumbent solution:
// MILP objective                                1,1970000000e+03
// MILP solution norm |x| (Total, Max)           2,94000e+02  3,30000e+01
// MILP solution error (Ax=b) (Total, Max)       0,00000e+00  0,00000e+00
// MILP x bound error (Total, Max)               0,00000e+00  0,00000e+00
// MILP x integrality error (Total, Max)         0,00000e+00  0,00000e+00
// MILP slack bound error (Total, Max)          0,00000e+00  0,00000e+00
//
xN = [[0
      0 0 0 0 0 0]
      [0 0 0 0 0 0]
      [0 0 0 0 0 0]
      [0 0 0 0 0 0]
      [0 0 0 0 0 0]
      [0 0 0 0 0 0]
      [0 0 0 0 0 0]];
xS = [[15 1 2 24 0 0 0]
      [14 0 1 19 0 0 1]
      [12 0 0 4 12 0 0]
      [5 4 0 3 5 2 2]
      [4 0 2 2 4 1 1]
      [1 1 1 1 3 0 0]
      [0 0 0 0 0 0 0]];
xW = [[0 0 0 0 0 0 0]
      [0 0 0 0 0 0 0]
      [0 0 0 0 0 0 0]
      [0 0 0 0 0 0 0]
      [0 0 0 0 0 0 0]
      [0 0 0 0 0 0 0]
      [0 0 0 0 0 0 0]];
xE = [[33 31 28 3 2 1 0]
      [0 0 0 4 3 2 0]
      [1 0 0 14 1 0 0]
      [6 1 0 0 6 3 0]
      [0 3 0 0 0 0 0]
      [2 0 0 0 0 0 0]
      [0 0 0 0 2 1 0]];

```

Figura 1.7: Soluções ótimas dual

### Passos sobre a resolução das soluções ótimas primal através do modelo dual

Tal como no exercício anterior, os passos dados foram exatamente os mesmos, primeiro modificou-se o ficheiro .ops da configuração, fazendo um export para LP. De seguida executou-se e foi criado um novo ficheiro com a extensão .lp, de seguida foram copiadas as partes mais relevante deste ficheiro para um ficheiro mod, tendo o cuidado de adaptar as restrições e função objetivo de modo a cumprir com a sintaxe do software.

De seguida, em cada restrição acrescentou-se o .dual em frente do nome gerado para cada restrição, usando para tal o scripting log, uma vez que ao acrescentar o .dual à frente, cada restrição irá ser calculada usando o método primal, contudo a solução obtida não corresponde à solução real do método primal, por razões desconhecidas ao grupo de trabalho, pelo que ao executar apenas parte do script, exemplificado na figura 1.9, a matriz obtida irá ter o seguinte formato:

```
// solution (optimal) with objective 1197
Matriz M [[5 -3 -7 -9 -13 -16 -8]
          [-12 -15 -18 -21 -14 -18 0]
          [0 0 0 0 0 0 0]
          [0 0 0 0 0 0 0]
          [0 0 0 0 0 0 0]
          [0 0 0 0 0 0 -38]
          [-15 -19 -19 -24 -28 -33 0]]
```

Figura 1.8: Soluções ótimas Primal

```
M[1][1] = Restricao1.dual;
M[2][2] = c2.dual;
M[2][3] = c3.dual;
M[2][4] = c4.dual;
M[2][5] = c5.dual;
M[2][6] = c6.dual;
M[3][2] = c7.dual;
```

Figura 1.9: Parte do script para o preenchimento da matriz M

# Capítulo 2

## Questão 2

### 2.1 Resposta A

#### Parâmetros:

n - Dimensão de uma matriz quadrada;  
vN - Matriz (de dimensão n\*n) com o custo de ir para norte de um certo nodo;  
vS - Matriz (de dimensão n\*n) com o custo de ir para sul de um certo nodo;  
vE - Matriz (de dimensão n\*n) com o custo de ir para este de um certo nodo;  
vW - Matriz (de dimensão n\*n) com o custo de ir para oeste de um certo nodo.  
b - Número de recursos;  
 $\Delta$  - Tempo de retardamento;

#### Variáveis de decisão:

M - Matriz (de dimensão n\*n) com os tempos de ignição em cada nodo;

$$x_{ij} = \begin{cases} 1 & , \text{ se o recurso foi alocado para a célula } x_{ij} \text{ , } i, j \in \{1, \dots, n\} \\ 0 & , \text{ caso contrário} \end{cases}$$

#### Função objetivo:

$$Max z = \sum_{i=1}^n \sum_{j=1}^n M_{ij}$$

Na função objetivo pretende-se maximizar o tempo de ignição em cada célula, tendo em conta o número de recursos disponíveis, pelo que é necessário efetuar o somatório dos tempos de ignição das células.

#### Sujeito a:

$$R1 : \sum_{i=1}^n \sum_{j=1}^n x_{ij} \leq b$$

$$R2 : \forall_{2 \leq i \leq n} (\forall_{1 \leq j \leq n} (M_{i-1j} - M_{ij} \leq vN_{ij} + \Delta * x_{ij}))$$

$$R3 : \forall_{1 \leq i \leq n-1} (\forall_{1 \leq j \leq n} (M_{i+1j} - M_{ij} \leq vS_{ij} + \Delta * x_{ij}))$$

$$R4 : \forall_{1 \leq i \leq n} (\forall_{2 \leq j \leq n} (M_{ij-1} - M_{ij} \leq vW_{ij} + \Delta * x_{ij}))$$

$$R5 : \forall_{1 \leq i \leq n} (\forall_{1 \leq j \leq n-1} (M_{ij+1} - M_{ij} \leq vE_{ij} + \Delta * x_{ij}))$$

$$R6 : M_{11} = 0$$

Devido à semelhança com o problema *1.a* as limitações do atual são semelhantes (R2, R3, R4, R5 e R6) com o acréscimo de " $+\Delta * x_{ij}$ " em cada uma delas, porque o tempo de propagação do fogo a partir de cada célula é adiado com adição da constante de retardamento  $\Delta$  se um recurso for alocado para o nodo.

O número total de  $b$  recursos também deverá ser delimitado, pelo que não deverá ser ultrapassado, para o efeito formulou-se R1.

## 2.2 Resposta B

Para o problema contextualizado em 2.b, com  $\Delta$  e  $b$  segundo o anexo ( $\Delta=b=8$ ), obteve-se a seguinte solução:

```
// solution (optimal) with objective 2391

M = [[0
      11 23 34 46 51 55]
      [14 24 36 46 50 53 56]
      [26 37 42 46 49 52 57]
      [39 43 47 51 53 56 59]
      [44 47 51 55 58 62 64]
      [48 53 55 59 62 66 69]
      [54 57 59 63 66 70 73]];

x = [[1 1 1 1 0 0 0]
      [1 1 1 0 0 0 0]
      [1 0 0 0 0 0 0]
      [0 0 0 0 0 0 0]
      [0 0 0 0 0 0 0]
      [0 0 0 0 0 0 0]
      [0 0 0 0 0 0 0]];
```

Figura 2.1: Solução para o problema descrito em 2.b.

Depois de examinada a solução (figura 2.2), pode inferir-se que aumentou em relação à solução de *1.a* (figura 1.3), o que seria de esperar devido ao uso de recursos e ao efeito retardante que estes possuem.

É também possível afirmar que os recursos tendem a situar-se em volta do foco de incêndio (1,1), como se pode ver na figura acima na matriz  $x$ , o que faz com que o tempo total de propagação seja máximo.

## 2.3 Resposta C

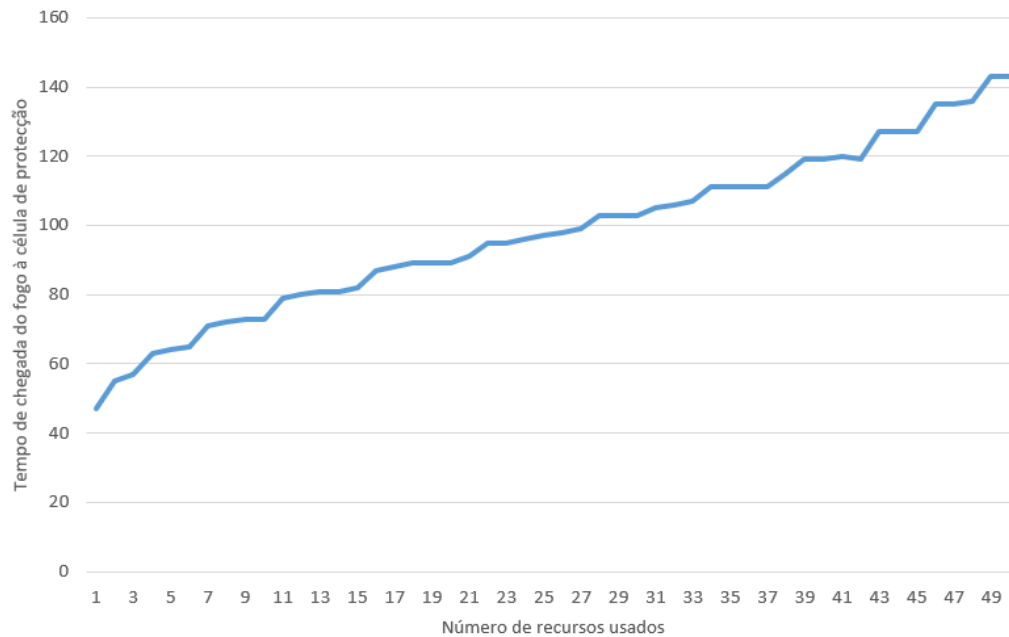


Figura 2.2: Gráfico representativo do tempo que o fogo demora a chegar até (7,7) em função do número de recursos.

Através da análise do gráfico acima (figura 2.2) é possível concluir que o tempo que o incêndio demora a chegar até à célula de protecção (7,7) tende a aumentar com a quantidade de recursos disponíveis. Comportamento este que está de acordo com o previsto, pois, se são alocados cada vez mais recursos, o tempo de propagação até (7,7) tem ,forçosamente, de aumentar.

# Capítulo 3

## Questão 3

### 3.1 Resposta A

#### Parâmetros:

n - Dimensão da matriz, 7;  
b - Número de recursos disponíveis, 8;  
time - tempo de simulação de incêndio, 12;  
Delta - valor de retardamento temporal dos recursos, 8;  
vN[1..n][1..n] - Matriz com o custo de ir para Norte desde (x,y);  
vS[1..n][1..n] - Matriz com o custo de ir para Sul desde (x,y);  
vE[1..n][1..n] - Matriz com o custo de ir para Este desde (x,y);  
vW[1..n][1..n] - Matriz com o custo de ir para Oeste desde (x,y).  
probIgni[1..n][1..n] - Matriz de probabilidades de ignição na célula (i,j)

#### Variáveis de decisão:

equipas[1..n][1..n] - Número de recursos colocados na célula (x,y), binária  
ardido[1..n][1..n][1..n][1..n] - Para uma ignição em (i,j), quais células (x,y) arderam, binária;  
Tempos[1..n][1..n][1..n][1..n] - Para uma ignição em (i,j) indica os tempos de propagação até (x,y), não negativa.

#### Função objetivo:

$$Min z = \sum_{i=1}^n \sum_{j=1}^n probIgni_{ij} \sum_{i=1}^n \sum_{j=1}^n ardido_{ijxy}$$

Na função objetivo pretende-se minimizar o valor esperado da área ardida. Para tal temos de ponderar a probabilidade de cada célula entrar em ignição, juntamente com o respetivo número de células ardidas.

#### Sujeito a:

R1: Máximo de recursos

$$\sum_{i=1}^n \sum_{j=1}^n equipas_{xy} == b$$

R2: Tempos de propagação

$$\forall_{1 \leq i \leq n} (\forall_{1 \leq j \leq n} (\forall_{2 \leq x \leq n} ((\forall_{1 \leq y \leq n} Tempos_{ij(x-1)y} \leq Tempos_{ijxy} + vN_{xy} + \Delta * equipas_{xy}))))$$

$$\forall_{1 \leq i \leq n} (\forall_{1 \leq j \leq n} (\forall_{1 \leq x \leq n-1} (\forall_{1 \leq y \leq n} Tempos_{ij(x+1)y} \leq Tempos_{ijxy} + vS_{xy} + \Delta * equipas_{xy}))))$$

$$\forall_{1 \leq i \leq n} (\forall_{1 \leq j \leq n} (\forall_{1 \leq x \leq n} (\forall_{2 \leq y \leq n} Tempos_{ijx(y-1)} \leq Tempos_{ijxy} + vW_{xy} + \Delta * equipas_{xy}))))$$

$$\forall_{1 \leq i \leq n} (\forall_{1 \leq j \leq n} (\forall_{1 \leq x \leq n} (\forall_{1 \leq y \leq n-1} Tempos_{ijx(y+1)} \leq Tempos_{ijxy} + vE_{xy} + \Delta * equipas_{xy}))))$$

R3: Os tempos nos focos de ignição são zero

$$\forall_{1 \leq i \leq n} (\forall_{1 \leq j \leq n} (Tempos_{ijij} == 0))$$

R4: Células ardidas estão a menos de *tempo* de distância do ponto de ignição

$$\forall_{1 \leq i \leq n} (\forall_{1 \leq j \leq n-1} (\forall_{1 \leq x \leq n} (\forall_{1 \leq y \leq n} (ardido_{ijxy} \leq (time - Tempos_{ijxy}/time))))$$

## 3.2 Resposta B

Para o tempo limite de 12, as localizações para os 8 recursos permitidos são as seguintes células:

$$\begin{bmatrix} 0 & 1 & 0 & 1 & 0 & 0 & 0 \\ 0 & 0 & 1 & 0 & 0 & 0 & 0 \\ 0 & 0 & 0 & 1 & 0 & 0 & 0 \\ 0 & 0 & 1 & 0 & 1 & 0 & 0 \\ 0 & 1 & 0 & 0 & 0 & 0 & 0 \\ 0 & 0 & 1 & 0 & 0 & 0 & 0 \\ 0 & 0 & 0 & 0 & 0 & 0 & 0 \end{bmatrix}$$

Como a atribuição de probabilidades é feita segundo plano em que as duas variáveis *i* e *j* são decrescentes, é de esperar que haja uma tendência a termos mais equipamentos no canto superior esquerdo do mapa por ter maior probabilidade de ignição.



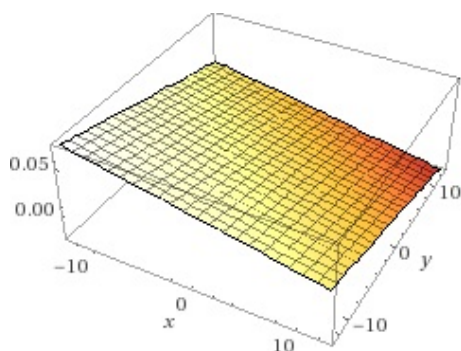


Figura 3.1: Plano da função que atribui as probabilidades de ignição às células da matriz

### 3.3 Resposta C

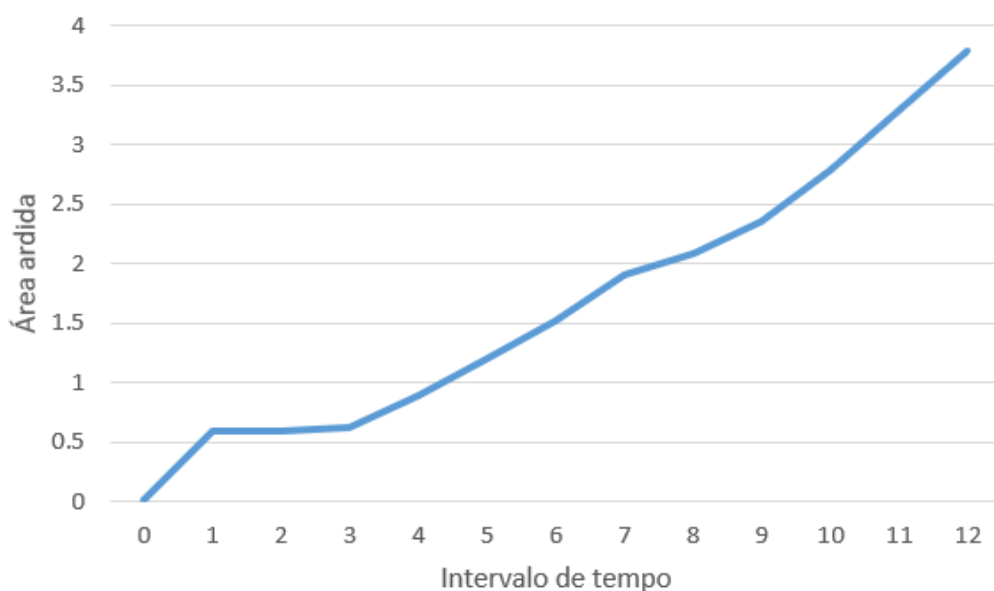


Figura 3.2: Gráfico com a variação de células ardidas segundo o tempo de incêndio

Tal como previsto, o número de células ardidas é tão maior quanto o tempo em que o incêndio deflagra, e é também visível o efeito positivo dos equipamentos alocados, que fizeram com que a área ardida cresça de forma logarítmica.